

The background features various anatomical illustrations of a dog's skeleton. At the top left is a lateral view of a skull with colored soft tissue overlays. To its right is a ribcage and spine. Further right is a lateral view of a skull with a pinkish-purple overlay on the jaw area. Below these are more skeletal views: a ribcage on the left, a ribcage on the right, a lumbar vertebrae section (L6, L7) at the bottom center, and a paw with colored phalanges at the bottom right.

# ATLAS ANATÔMICO RADIOGRÁFICO

---

---

ESQUELETO AXIAL e APENDICULAR de  
cães

Melissa Vaz  
& Leonardo Marinho

# ATLAS ANATÔMICO RADIOGRÁFICO

ESQUELETO AXIAL e APENDICULAR de  
cães

---

---

PROGRAMA UNIFICADO DE  
BOLSAS (PUB) 2025  
Vertente extensão universitária

## Autores

Melissa Vaz De La Torre  
Leonardo Marinho Fernandes

## Orientadores

Prof. Dr. Marcus Antônio Rossi Feliciano  
Prof<sup>a</sup>. Dr<sup>a</sup> Camila Trevisan  
Prof<sup>a</sup>. Dr<sup>a</sup> Renata dos Santos Silva

## Realização



**UNiSA**  
Universidade Santo Amaro

A891 Atlas anatómico radiográfico: esqueleto axial e apendicular de cães / Melissa Vaz de La Torre, [et al.]. São Paulo: Unisa – 2025.

1 recurso online (49 p.): il., color.  
Publicação digital (e-book) no formato PDF  
ISBN: 978-65-834170-4-6.

1. Anatomia veterinária. 2. Estrutura animais. 3. Sistema esquelético. 4. Cães. I. La Torre, Melissa Vaz de. II. Fernandes, Leonardo Marinho. III. Feliciano, Marcus Antônio Rossi Feliciano. IV. Trevisan, Camila. V. Silva, Renata dos Santos. VI. Universidade Santo Amaro. VII. Título.

636.0891

Elaborada pela Bibliotecária: Janice Toledo dos Santos – CRB 8/8391

Publicação digital – Brasil

1ª edição 2025

ISBN: 978-65-834170-4-6

# ATLAS ANATÔMICO RADIOGRÁFICO

ESQUELETO AXIAL e APENDICULAR de  
cães

---

---

PROGRAMA UNIFICADO DE  
BOLSAS (PUB) 2025  
Vertente extensão universitária

## Autores

Melissa Vaz De La Torre  
Leonardo Marinho Fernandes

## Orientadores

Prof. Dr. Marcus Antônio Rossi Feliciano  
Prof<sup>ª</sup>. Dr<sup>ª</sup> Camila Trevisan  
Prof<sup>ª</sup>. Dr<sup>ª</sup> Renata dos Santos Silva

## Realização



**UNiSA**  
Universidade Santo Amaro

# ATLAS ANATÔMICO RADIOGRÁFICO

ESQUELETO AXIAL e APENDICULAR de cães

## SUMÁRIO

Prefácio.....	5
Reconhecimento.....	6
Sobre os autores.....	7
<b><u>ESQUELETO AXIAL</u></b>	
<b>1 <u>Crânio</u></b>	
1.1 Vista lateral.....	9, 10 e 11
1.2 Vista ventral.....	12 e 13
<b>2 <u>Segmento cervical da coluna vertebral</u></b>	
2.1 Vista lateral.....	14 e 15
<b>3 <u>Segmento torácico da coluna vertebral e esterno</u></b>	
3.1 Vista ventral.....	16 e 17
3.2 Vista lateral.....	18 e 19
<b>4 <u>Segmento lombar e sacral da coluna vertebral</u></b>	
4.1 Vista ventral.....	20 e 21
4.2 Vista lateral.....	22 e 23
<b><u>ESQUELETO APENDICULAR</u></b>	
<b>5 <u>Membro torácico</u></b>	
5.1 Geral - Vista lateral.....	25 e 26
5.2 Escápula e úmero - Vista lateral.....	27 e 28
5.3 Articulação do cotovelo - Vista mediolateral.....	29 e 30

# ATLAS ANATÔMICO RADIOGRÁFICO

## ESQUELETO AXIAL e APENDICULAR de cães

# SUMÁRIO

---

---

5.4 Rádio e ulna - Vista mediolateral.....	31 e 32
5.5 Ossos do carpo, metacarpo e falanges - Vista dorsopalmar .....	33 e 34

### **6 Membro pélvico**

6.1 Geral - Vista lateral.....	35 e 36
6.2 Osso coxal e fêmur - Vista ventral.....	37, 38 e 39
6.3 Osso coxal e fêmur - Vista lateral.....	40 e 41
6.4 Articulação do joelho - Vista mediolateral .....	42 e 43
6.5 Articulação do joelho - Craniocaudal .....	44 e 45
6.6 Ossos do tarso e metatarso - Dorsoplantar .....	46 e 47
7 Realização.....	48



# PREFÁCIO

---

A anatomia radiográfica representa uma ponte essencial entre o conhecimento anatômico tradicional e a prática clínica contemporânea. Compreender as nuances da imagem radiológica requer não apenas domínio da morfologia, mas também sensibilidade para interpretar estruturas que se revelam em tons de cinza, contrastes e sobreposições. Este Atlas Anatômico Radiográfico foi idealizado com o objetivo de servir como uma ferramenta prática, didática e visualmente clara para estudantes, profissionais da área da medicina veterinária e todos aqueles que desejam aprofundar sua compreensão sobre a correlação entre a anatomia e a radiologia.

Cada imagem contida neste atlas foi acompanhada de esquemas e marcações para facilitar o reconhecimento das estruturas em diferentes projeções e planos radiográficos, de maneira a promover um aprendizado didático.

Este trabalho é fruto de um processo cuidadoso de documentação, estudo e paixão pela anatomia e pela imagem diagnóstica. Espero que este atlas contribua significativamente para a formação acadêmica e o aperfeiçoamento profissional daqueles que o utilizarem, servindo tanto como base de estudo quanto como apoio no diagnóstico e na prática clínica.

**Melissa & Leonardo**



# RECONHECIMENTO

---

---

A realização deste Atlas Anatômico Radiográfico só foi possível graças à colaboração, orientação e apoio de diversas instituições e pessoas que contribuíram direta ou indiretamente para sua construção. Ao Hospital Veterinário da FZEA (HOVET-FZEA), expressamos nossa sincera gratidão pelo suporte técnico, pelo acesso ao acervo radiográfico, e por todo o acolhimento durante o processo de produção deste atlas, em especial à toda equipe do setor de imaginologia veterinária.

Agradeço também à parceria com a Universidade Santo Amaro (UNISA), que agregou muito com conhecimento técnico, profissional e as imagens das peças anatômicas que serviram de base para confecção do material.

Aos orientadores, Prof. Dr. Marcus Antonio Rossi Feliciano, Profa. Dra. Camila Trevisan e Profa. Dra. Renata dos Santos Silva, deixamos nosso profundo reconhecimento pela orientação científica, pela paciência, pelas valiosas contribuições teóricas e práticas, e pelo incentivo constante. E também, a todos que, de alguma forma, participaram deste processo, colegas, professores, técnicos, amigos e familiares, vocês foram essenciais para o desenvolvimento desse trabalho.

**Melissa & Leonardo**

# SOBRE OS AUTORES

---

---

## **Autora Melissa Vaz De La Torre**

Graduanda do décimo semestre de Medicina Veterinária pela FZEA USP, com interesse especial nas áreas de diagnóstico por imagem e clínica médica de cães e gatos.

## **Autor Leonardo Marinho Fernandes**

Graduando do décimo semestre de Medicina Veterinária pela UNISA, com interesse especial nas áreas de anatomia e clínica médica de cães e gatos.

## **Orientador Prof. Dr. Marcus Antônio Rossi Feliciano**

Referência nacional e internacional na área de diagnóstico por imagem veterinário, com livros e mais de 200 artigos científicos publicados. Atualmente é responsável pelo Laboratório de Imaginologia Veterinária junto ao seu grupo de pesquisa na FZEA USP e FCAV/UNESP, e é professor associado da Universidade de São Paulo USP FZEA.

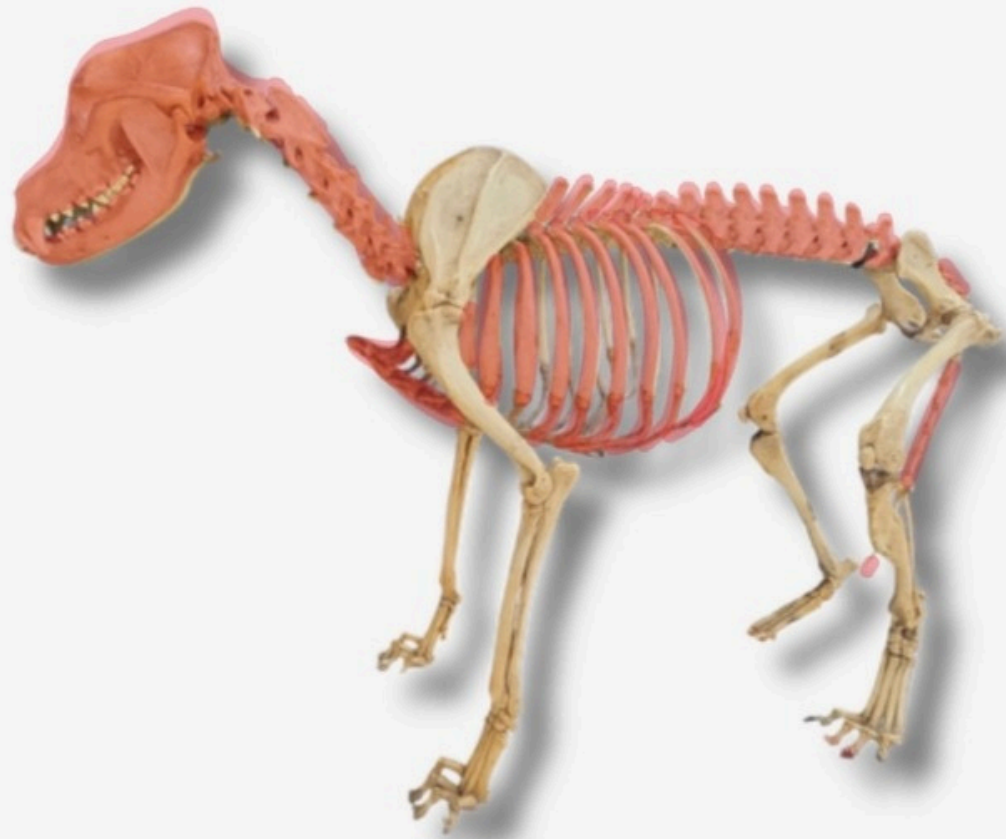
## **Orientadora Prof<sup>ª</sup>. Dra. Camila Trevisan Pereira**

Mestre em Ciências pela FMVZ-USP, especializada em Ultrassonografia, radiodiagnóstico, tomografia computadorizada e ressonância magnética. Desde 2018 é diplomada pelo CBRV, foi vice presidente da ABRV (2018-2021) e atuou supervisora do Setor de Imagem do HOVET-UNISA e como docente na UNISA (2021-2025) e atualmente é docente, médica veterinária imaginologista e preceptora do programa de residência na Universidade São Francisco, além de atuar em diversos cursos de pós graduação.

## **Orientadora Prof<sup>ª</sup>. Dra. Renata dos Santos Silva**

Doutora e Mestre em Ciências pela FMVZ/USP, atua como docente de Anatomia nos cursos de Medicina Veterinária e Medicina, ministrando disciplinas como Anatomia Animal I e II e Anatomia Topográfica Animal e Humana. Atualmente, é supervisora do Laboratório de Anatomia da UNISA.

# ESQUELETO AXIAL



● Composição do esqueleto axial.

# I.I CRÂNIO

Vista lateral



# I.1 CRÂNIO

## Vista lateral

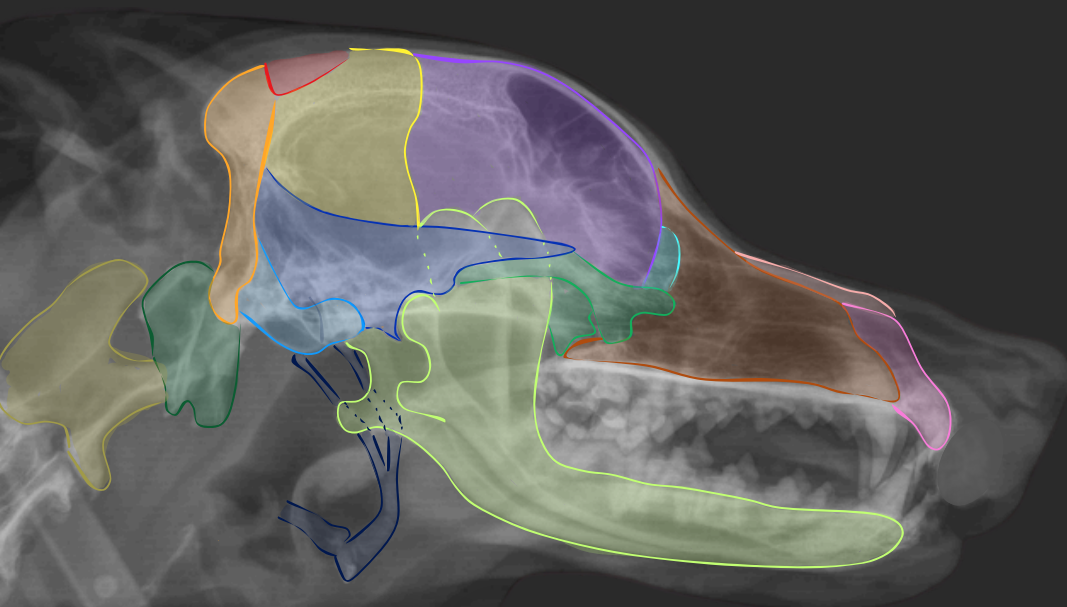


Figura 1.1

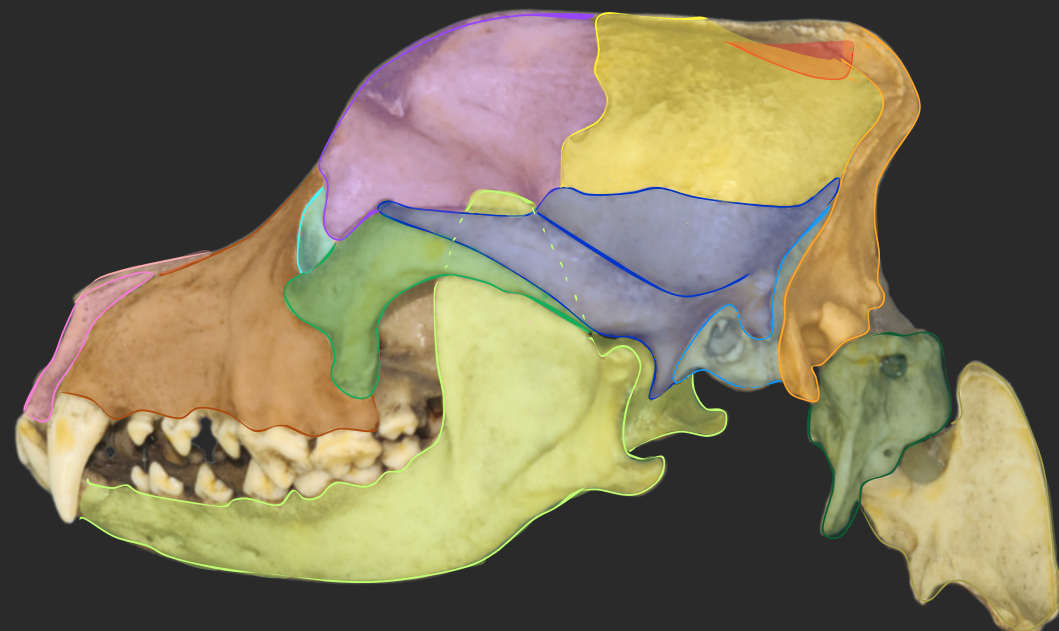


Figura 1.2

### Legenda

- |   |   |  |   |   |   |   |
|---|---|--|---|---|---|---|
| <span style="color: red;">●</span> Osso interparietal | <span style="color: blue;">●</span> Parte petrosa do osso temporal      | <span style="color: green;">●</span> Osso zigomático | <span style="color: cyan;">●</span> Osso lacrimal   | <span style="color: pink;">●</span> Osso incisivo | <span style="color: purple;">●</span> Osso frontal  | <span style="color: olive;">●</span> C2 - Áxis      |
| <span style="color: yellow;">●</span> Osso parietal   | <span style="color: darkblue;">●</span> Parte escamosa do osso temporal | <span style="color: orange;">●</span> Osso occipital | <span style="color: lightpink;">●</span> Osso nasal | <span style="color: brown;">●</span> Osso maxilar | <span style="color: darkgreen;">●</span> C1 - Atlas | <span style="color: darkblue;">●</span> Osso hióide |

**Figura 1.1.** Radiografia laterolateral esquerda do crânio de um cão, com marcação das principais estruturas ósseas do crânio.  
**Figura 1.2.** Peça anatômica de crânio canino em vista lateral esquerda, com as mesmas estruturas ósseas em evidência.

# I.1 CRÂNIO

## Vista lateral

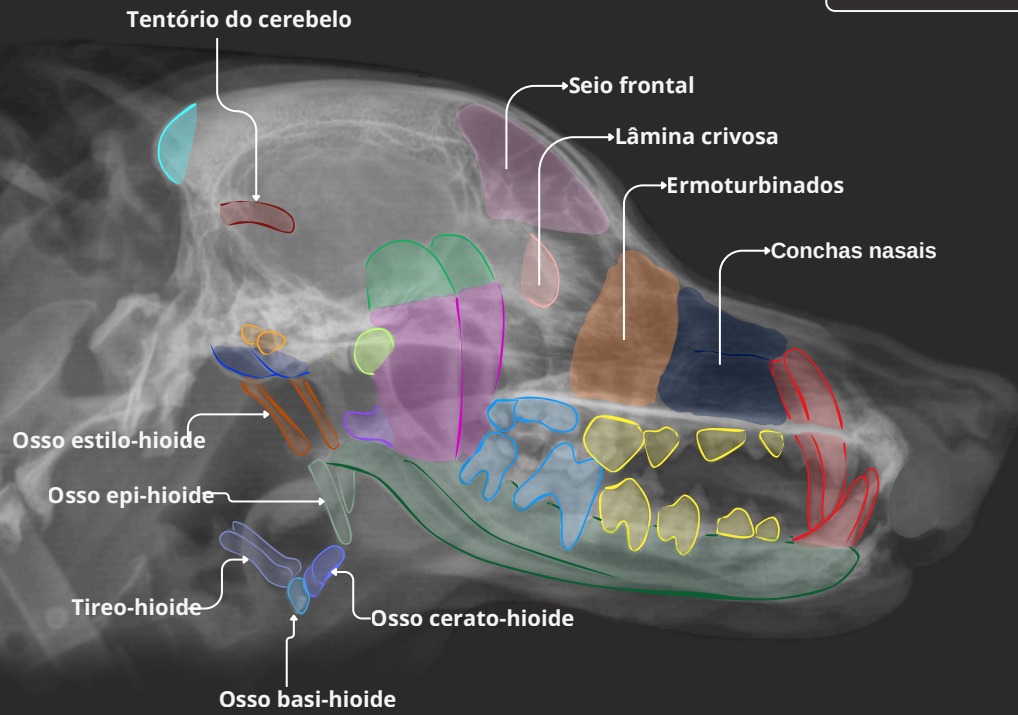


Figura 1.3

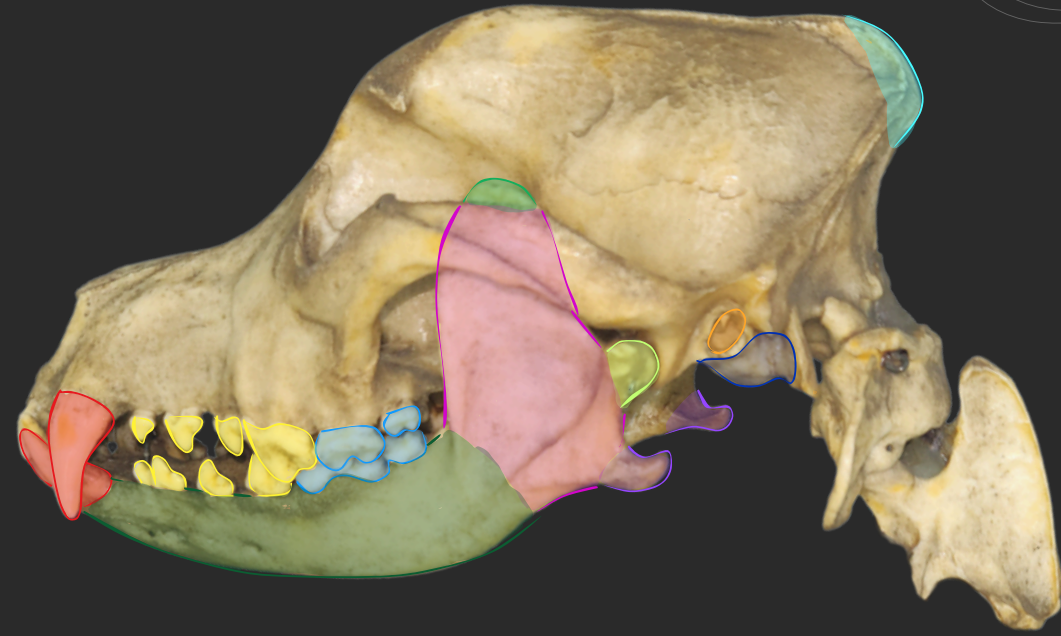


Figura 1.4

### Legenda

- Dentes caninos
- Dentes molares
- Corpo da mandíbula
- Crista nugal
- Processo angular da mandíbula
- Processo condilar da mandíbula
- Dentes pré molares
- Bulha timpânica
- Meato acústico externo
- Ramo da mandíbula
- Processo coronóide da mandíbula

**Figura 1.3** Radiografia laterolateral esquerda do crânio de um cão, com marcação das principais estruturas ósseas do crânio. Estruturas internas não visibilizadas na outra imagem estão indicadas com setas brancas.

**Figura 1.4** Peça anatômica de crânio canino em vista lateral esquerda, com as mesmas estruturas ósseas indicadas na radiografia.

# 1.2 CRÂNIO

Vista ventral



# 1.2 CRÂNIO

Vista ventral

Figura 1.5

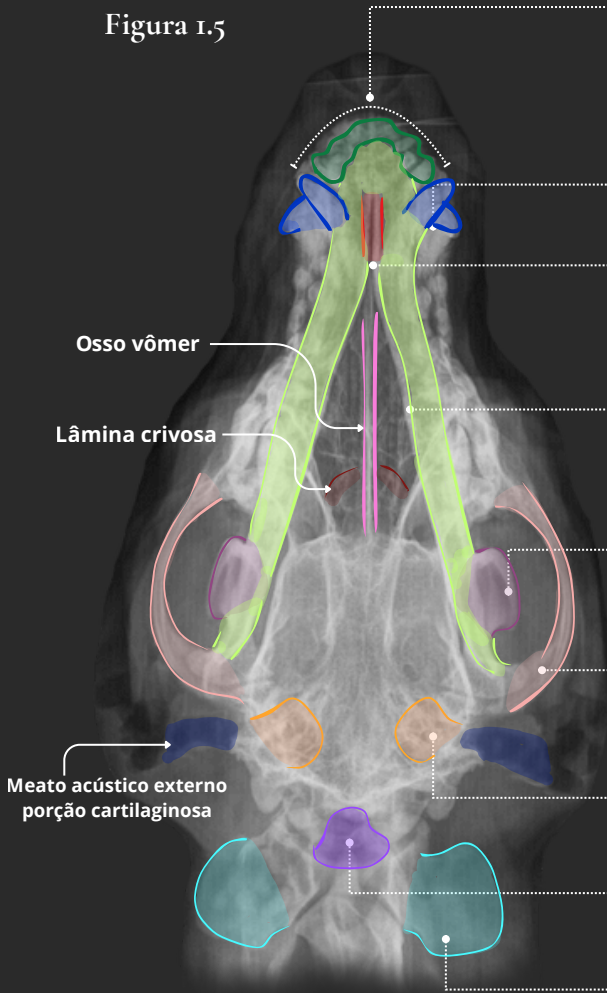
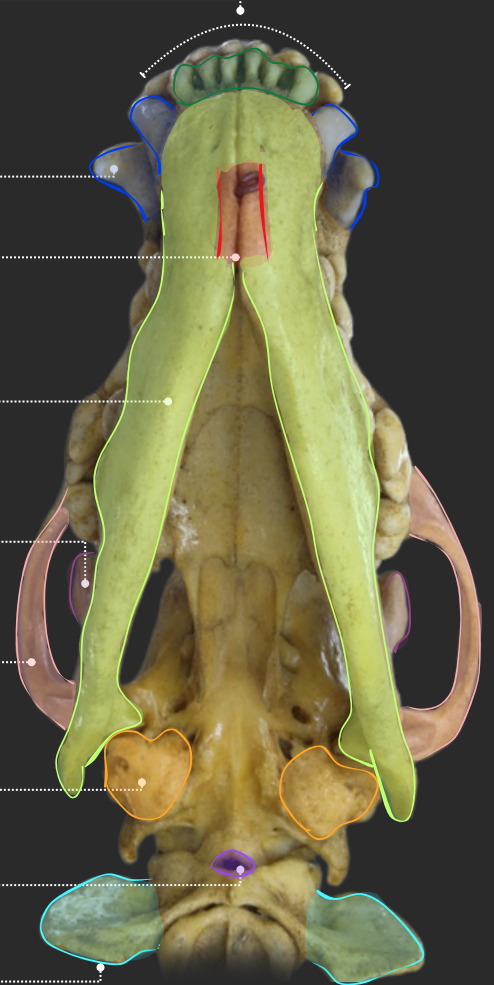


Figura 1.6



Incisivos

Caninos

Sínfise mandibular

Mandíbula

Processo coronóide

Arco zigomático

Bulha timpânica

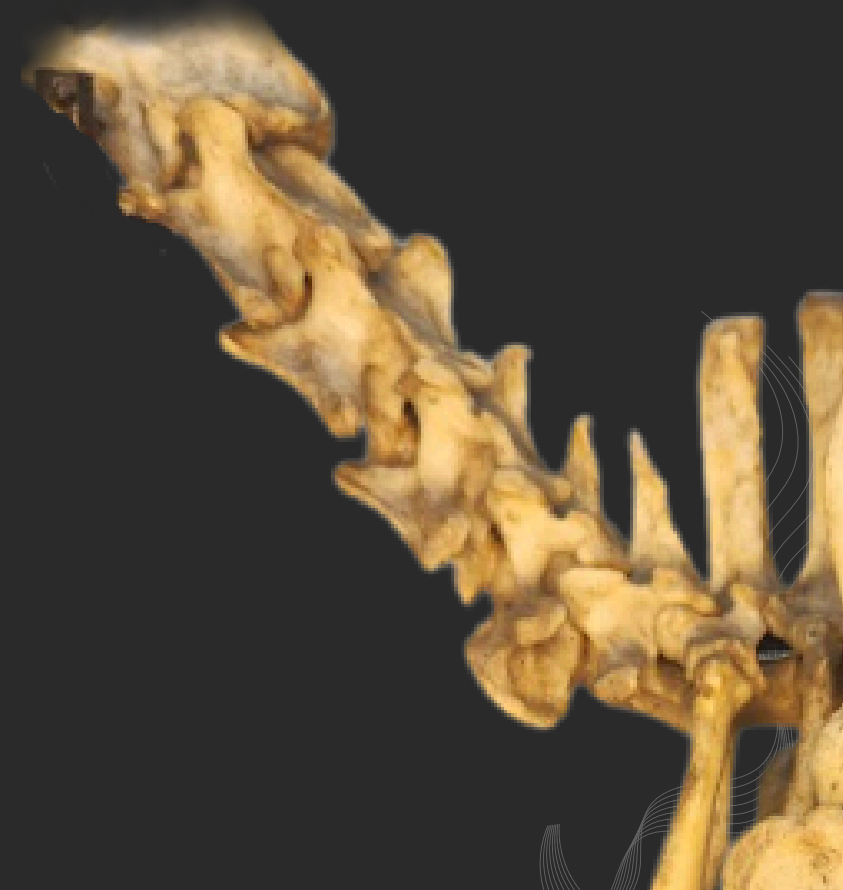
Forame magno

Asa do atlas

**Figura 1.5** Radiografia ventrodorsal do crânio de um cão, com marcação das principais estruturas ósseas do crânio. Estruturas internas não visibilizadas na outra imagem estão indicadas com setas brancas.  
**Figura 1.6** Peça anatômica de crânio canino em vista ventral, com as mesmas estruturas ósseas indicadas na radiografia.

# 2.1 Segmento cervical da coluna vertebral

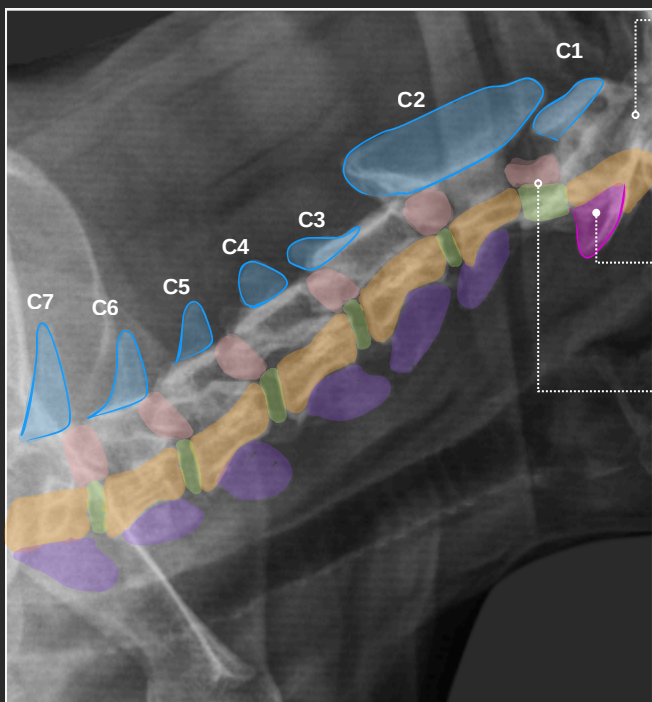
Vista lateral



## 2.1 Segmento cervical da coluna vertebral

Vista lateral

Figura 2.1

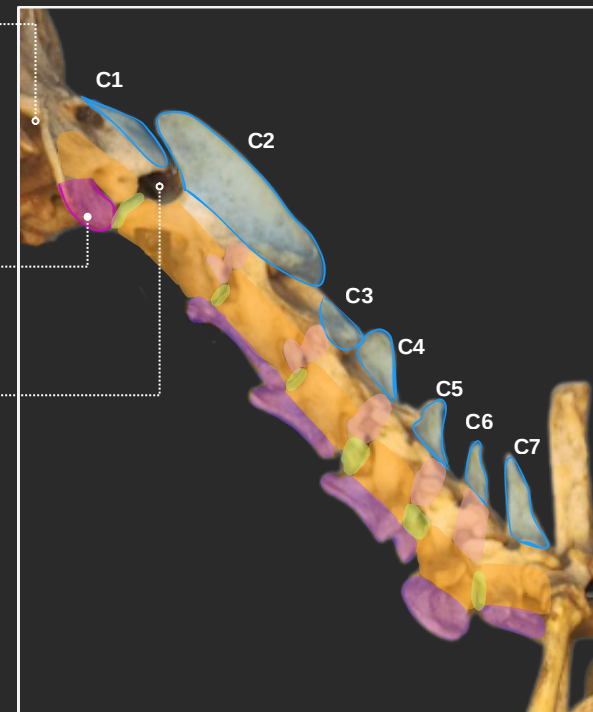


Espaço atlantooccipital

Asa do atlas

Espaço atlantoaxial

Figura 2.2



### Legenda

- Processo espinhoso
- Processo transversal
- Espaço do disco intervertebral
- Corpo vertebral
- Forame intervertebral

**Figura 2.1** Radiografia lateral de região cervical de um cão, com marcação das principais estruturas ósseas.  
**Figura 2.2** Peça anatômica com as mesmas estruturas ósseas indicadas na radiografia.

# 3.1 Segmento torácico da coluna vertebral e esterno

Vista ventral



### 3.1 Segmento torácico da coluna vertebral e esterno

Vista ventral



Figura 3.1

Manúbrio do esterno

Espaços intercostais

Gradil costal

Costelas

Vertebra - T11

Processo xifóide do esterno

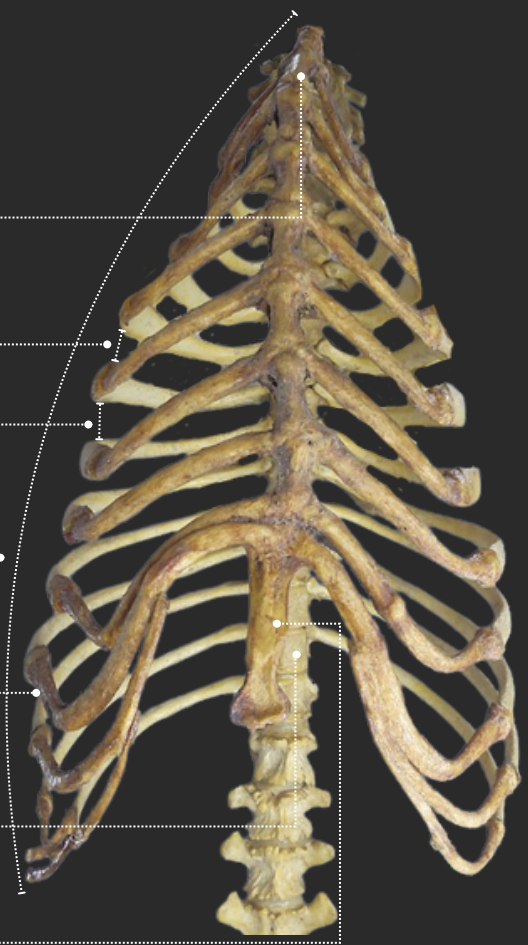


Figura 3.2

**Figura 3.1** Radiografia ventrodorsal do tórax de um cão, com destaque para a identificação dos espaços intercostais, do gradil costal e estruturas do esterno.  
**Figura 3.2** Peça anatômica correspondente do tórax, apresentando o gradil costal, os espaços intercostais e as vértebras torácicas em vista ventral.

## 3.2 Segmento torácico da coluna vertebral e esterno

Vista lateral



### 3.2 Segmento torácico da coluna vertebral e esterno

Vista lateral

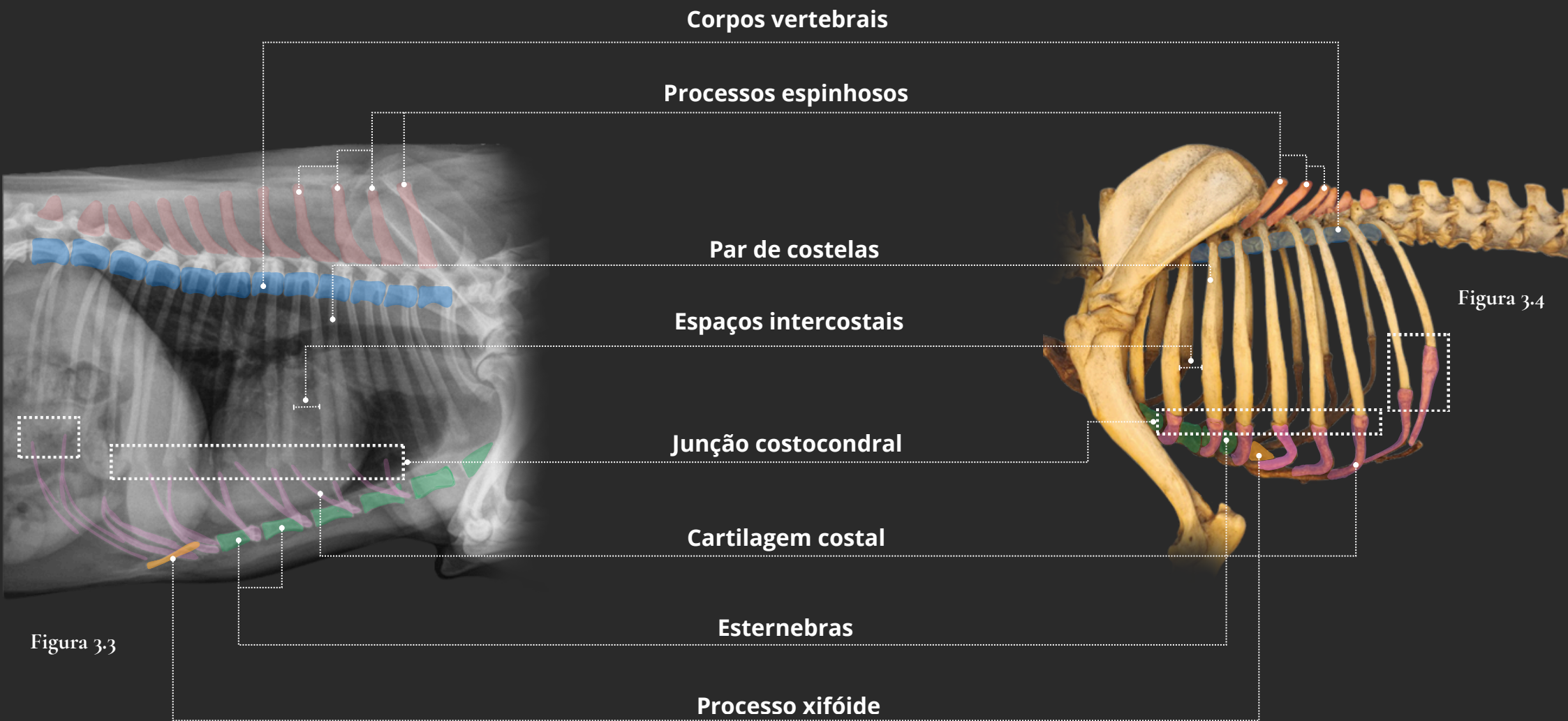
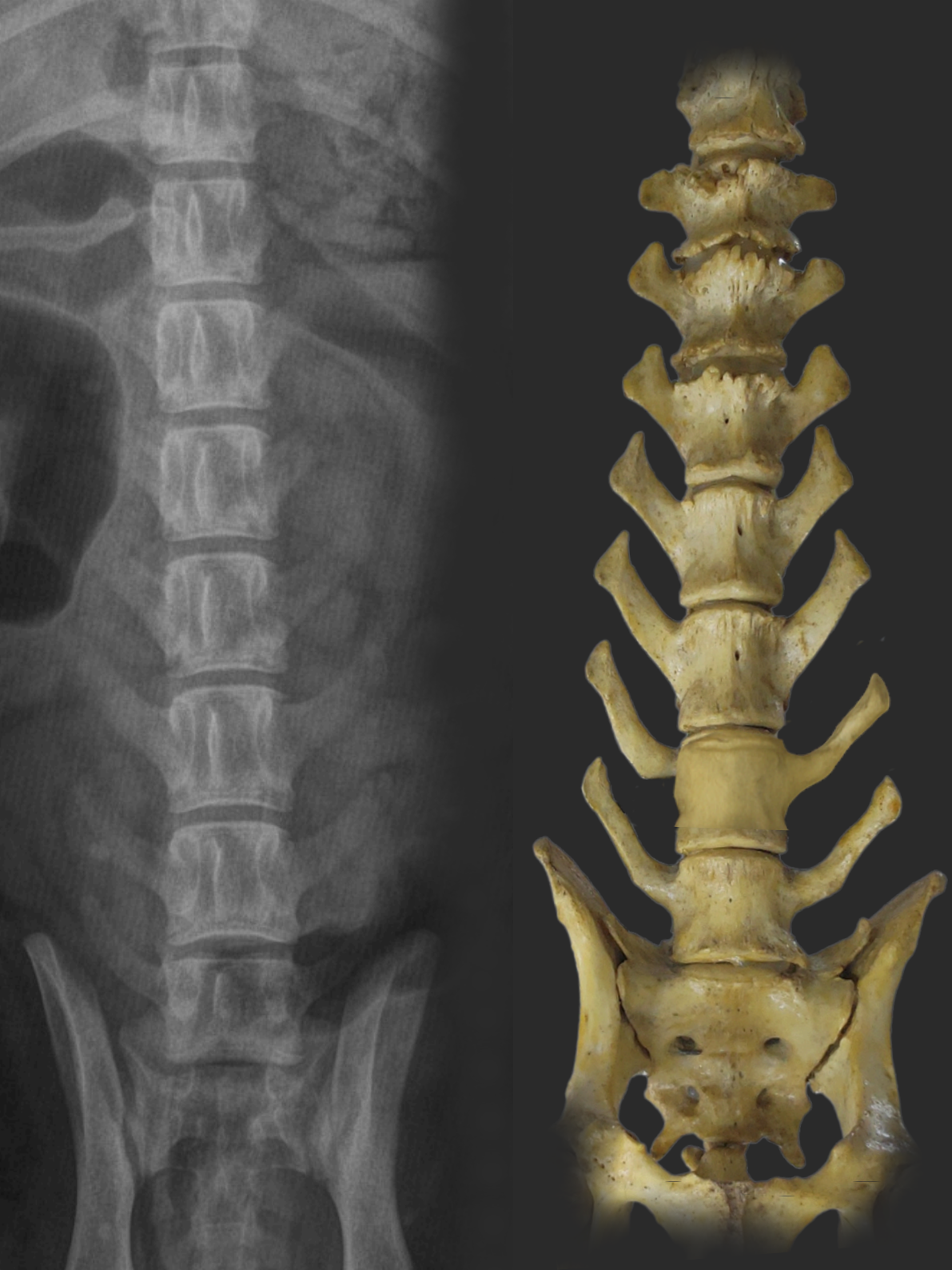


Figura 3.3

Figura 3.4

**Figura 3.3** Radiografia laterolateral do tórax e da coluna toracolombar de um cão, com destaque para coluna torácica, esterno e costelas.  
**Figura 3.4** Peça anatômica correspondente do tórax e coluna toracolombar em vista lateral, apresentando as mesmas estruturas ósseas evidenciadas na radiografia.

The image displays the lumbar and sacral segments of the human vertebral column from a ventral perspective. On the left, a faint, semi-transparent anatomical illustration shows the entire spine within the ribcage and pelvic girdle. On the right, a more detailed, three-dimensional rendering of the same vertebrae is shown against a dark background. The lumbar vertebrae are characterized by their large, kidney-shaped bodies and prominent transverse processes. The sacrum is a large, triangular bone at the base of the spine, formed by the fusion of five sacral vertebrae. The text '4.1 Segmento lombar e sacral da coluna vertebral' and 'Vista ventral' is overlaid on the right side of the image.

4.1 Segmento lombar e  
sacral da coluna vertebral  
Vista ventral

# 4.1 Segmento lombar e sacral da coluna vertebral

Vista ventral

Figura 4.1

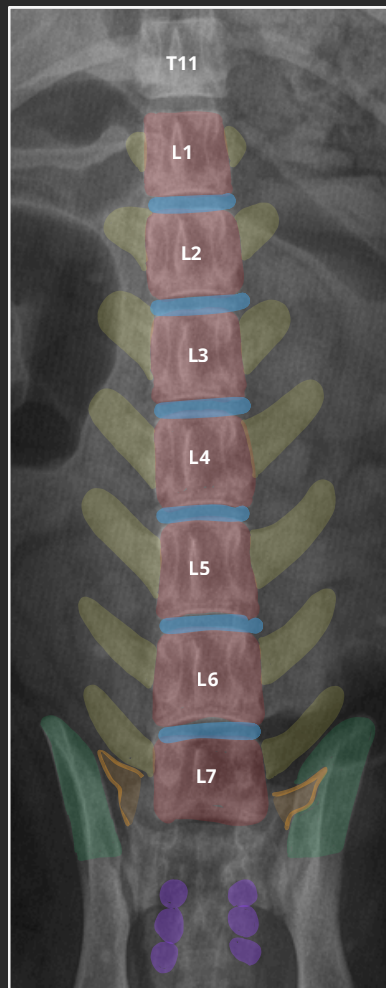
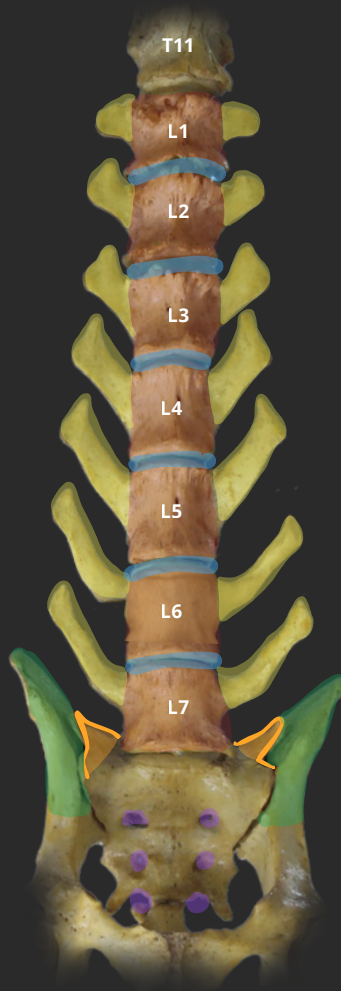


Figura 4.2



## Legenda

- Corpo vertebral
- Espaço do disco intervertebral
- Processo transversos
- Íleo
- Forames sacrais ventrais
- Asa do sacro

**Figura 4.1** Radiografia ventrodorsal de região lombar de um cão, com destaque para vértebras e osso sacro.

**Figura 4.2** Peça anatômica correspondente de vértebras lombares e sacro em vista ventral, apresentando as mesmas estruturas ósseas evidenciadas na radiografia.



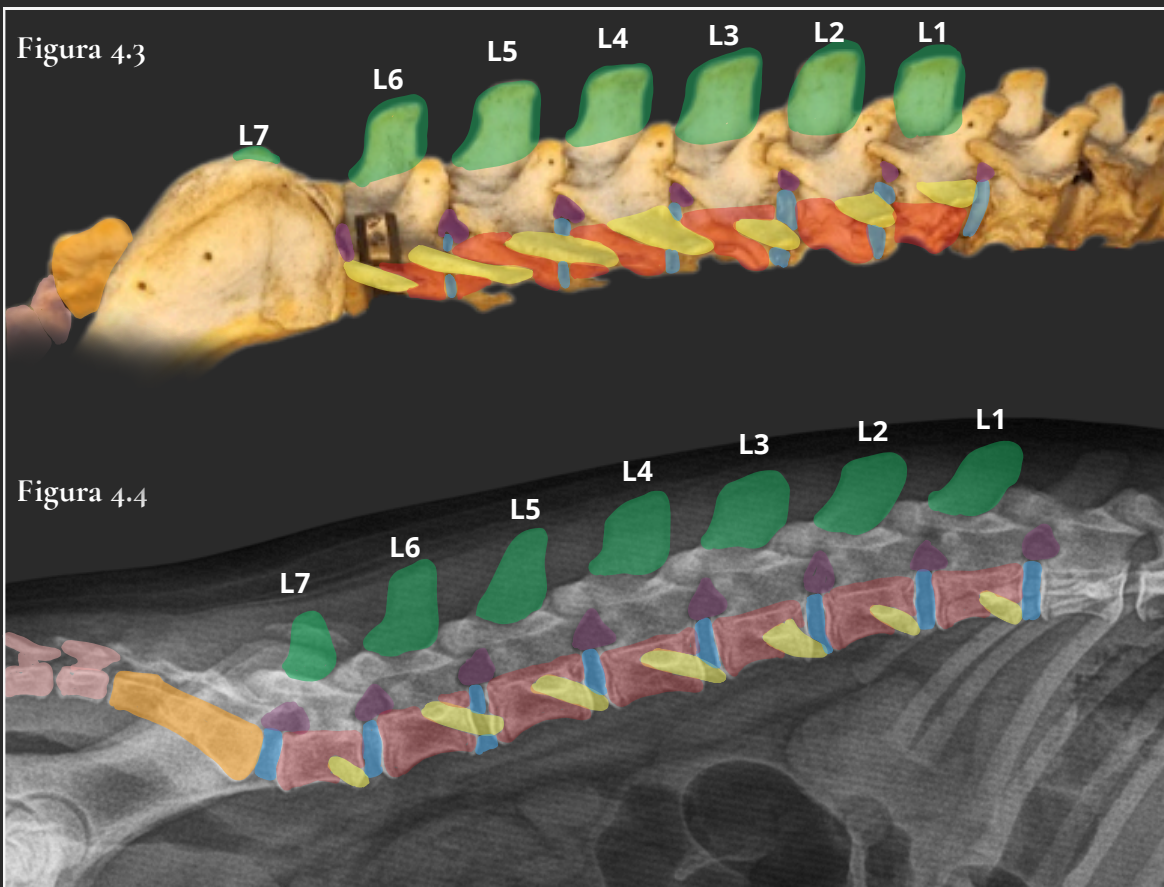
## 4.2 Segmento lombar e sacral da coluna vertebral

Vista lateral



## 4.2 Segmento lombar e sacral da coluna vertebral

### Vista lateral



#### Legenda

- |  |   |
|--|---|
| <span style="color: red;">●</span> Corpo vertebral                 | <span style="color: green;">●</span> Processo espinhoso |
| <span style="color: yellow;">●</span> Processo transverso          | <span style="color: orange;">●</span> Sacro             |
| <span style="color: blue;">●</span> Espaço do disco intervertebral | <span style="color: pink;">●</span> Vértex coccígeas    |
| <span style="color: purple;">●</span> Forame intervertebral        |   |

**Figura 4.3** Radiografia laterolateral de segmento lombar de coluna vertebral, com destaque para vértebras e osso sacro.

**Figura 4.4** Peça anatômica correspondente de coluna lombar em vista lateral, apresentando as mesmas estruturas ósseas evidenciadas na radiografia.

# ESQUELETO APENDICULAR



● Composição do esqueleto apendicular.

# 5.1 Membro torácico - Geral

Vista lateral



# 5.1 Membro torácico - Geral

Vista lateral

Figura 5.1

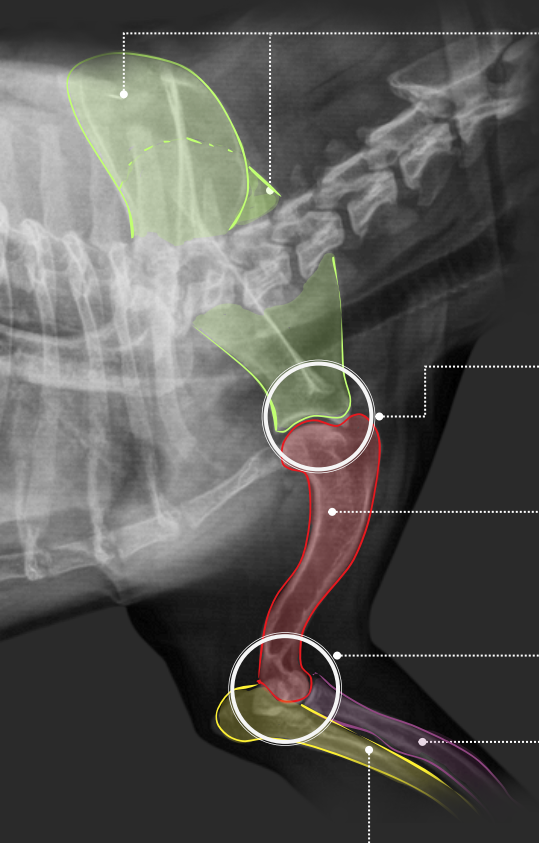
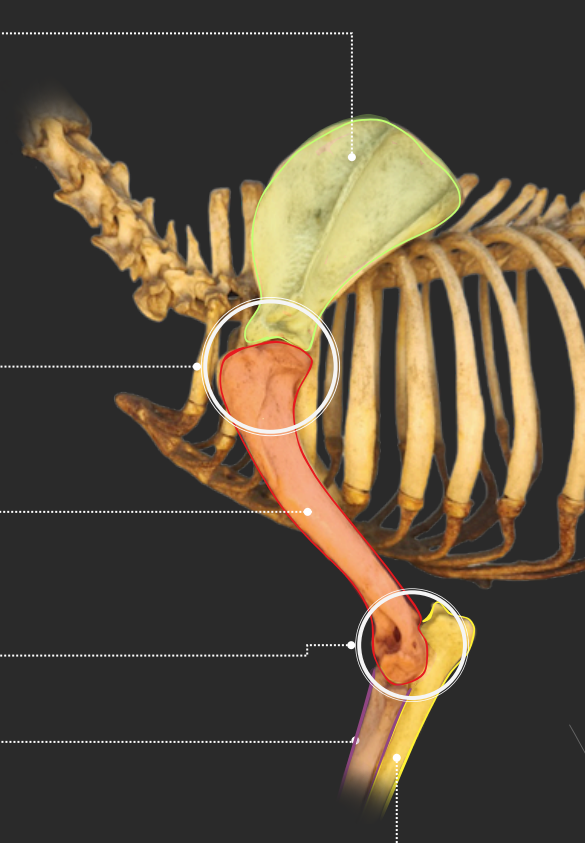


Figura 5.2



Escápula

Articulação escapuloumeral

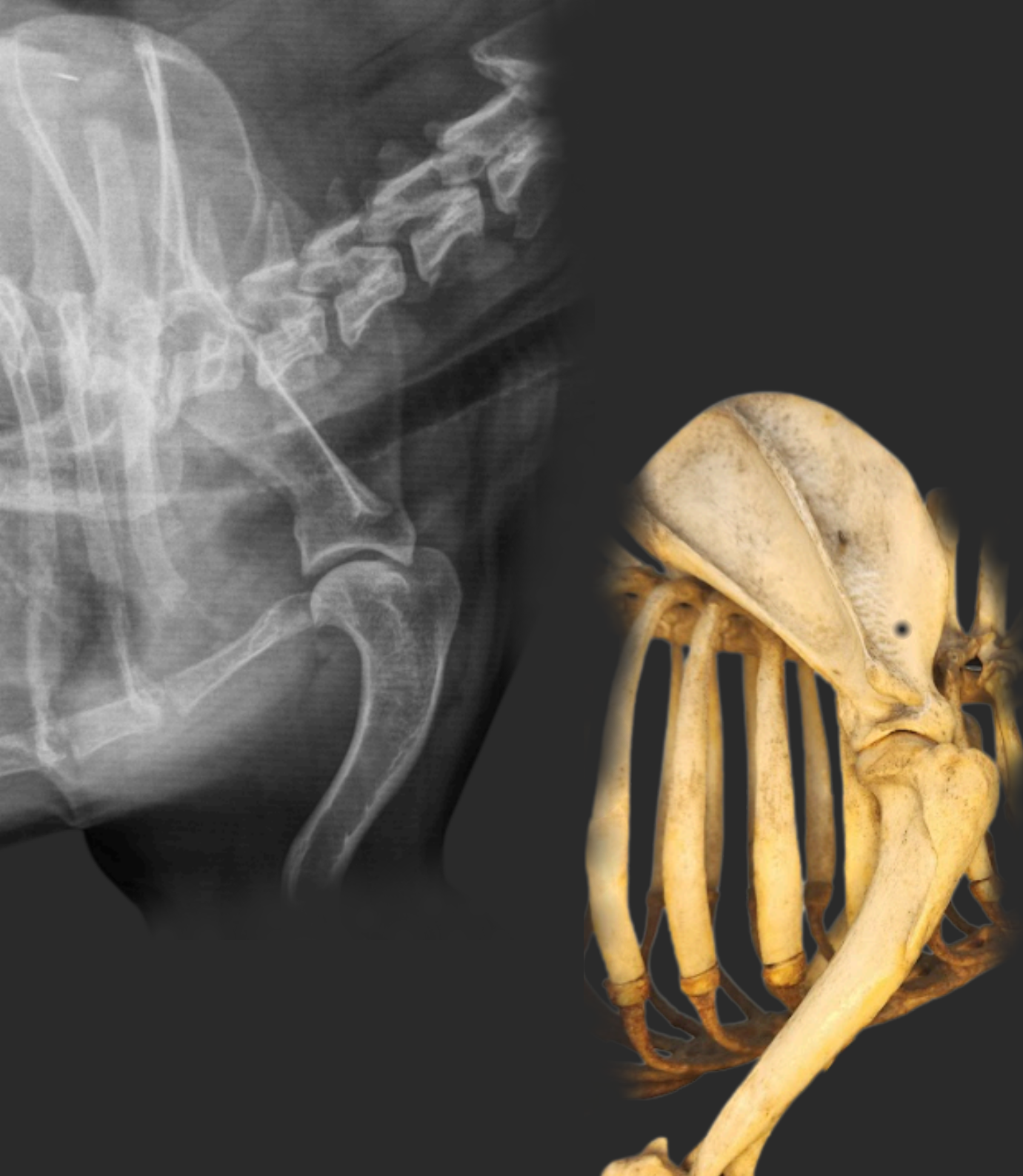
Úmero

Articulação Umerorradioulnar

Rádio

Ulna

**Figura 5.1** Radiografia laterolateral de membro torácico de um cão, com marcação das principais estruturas ósseas.  
**Figura 5.2** Peça anatômica com as mesmas estruturas ósseas indicadas na radiografia.



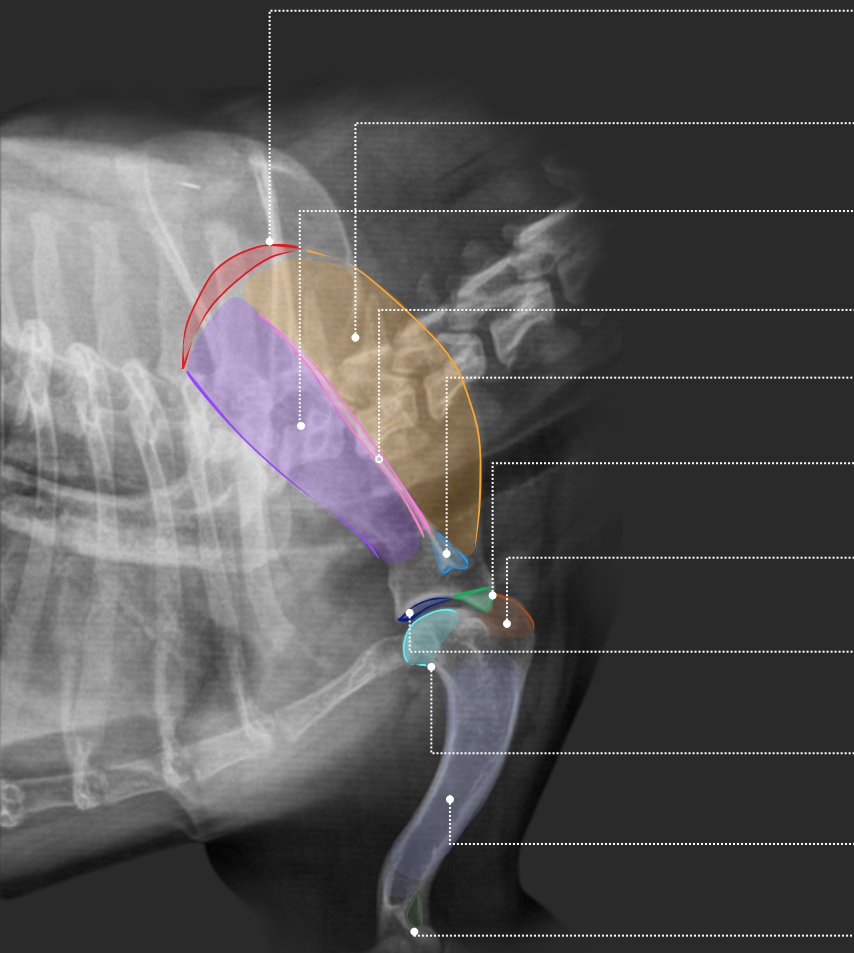
## 5.2 Escápula e úmero

Vista lateral

# 5.2 - Escápula e úmero

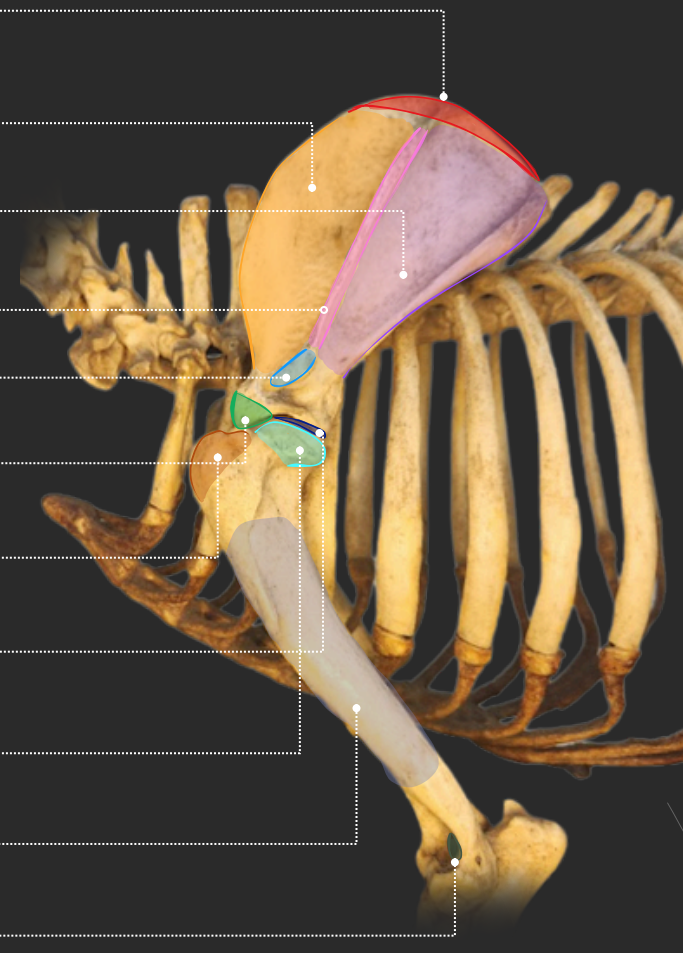
Vista lateral

Figura 5.3



Margem dorsal da escápula

Figura 5.4



Fossa supraespinhal

Fossa infraespinhal

Espinha da escápula

Acrômio

Tubérculo supraglenóide

Túberculo maior do úmero

Cavidade glenóide

Cabeça do úmero

Corpo do úmero

Forame supratrocLEAR

**Figura 5.3** Radiografia laterolateral de membro torácico de um cão com ênfase nos ossos escápula e úmero, e marcação das principais estruturas ósseas.

**Figura 5.4** Peça anatômica com as mesmas estruturas ósseas indicadas na radiografia.



## 5.3 Articulação do cotovelo

Vista mediolateral

## 5.3 Articulação do cotovelo

Vista mediolateral

Figura 5.5

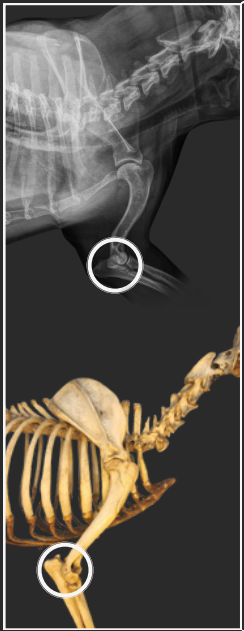
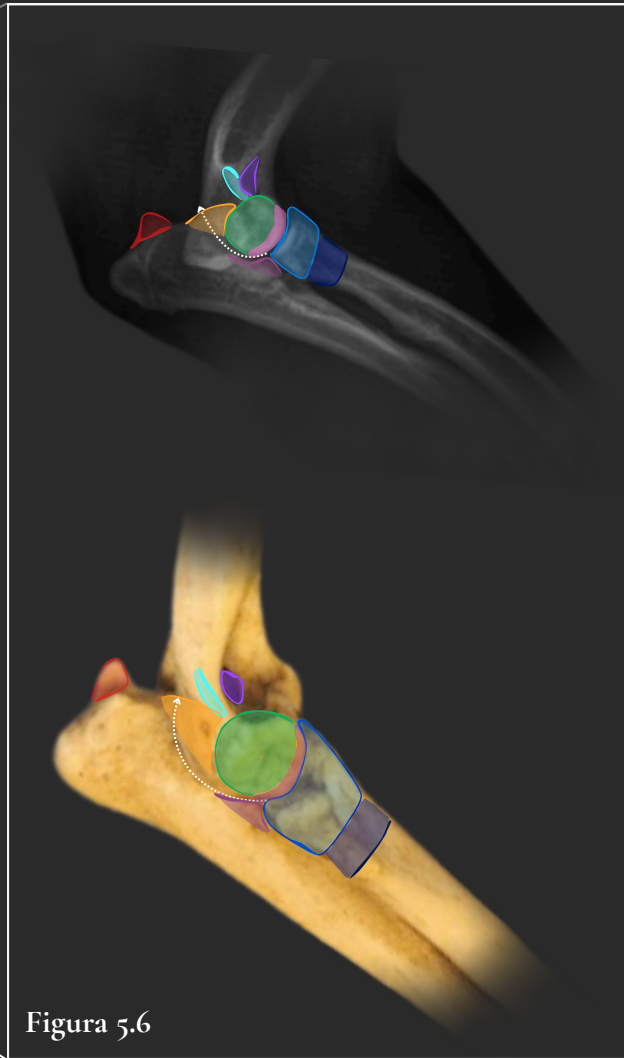












Figura 5.6



### Legenda

- |  |                                    |  |                  |
|--|------------------------------------|--|------------------|
|   | Incura ulnar                       |   | Cabeça do rádio  |
|   | Tuberosidade do olécrano           |   | Côndilo umeral   |
|   | Forame supratrocLEAR               |   | Tróclea umeral   |
|   | Epicôndilo lateral do úmero        |   | Processo ancôneo |
|  | Processo coronóide lateral da ulna |  | Colo do rádio    |

**Figura 5.5** Radiografia laterolateral esquerda de um cão, com destaque para a articulação do cotovelo. A imagem indica a localização anatômica geral da articulação umerorradioulnar.  
**Figura 5.6** Ampliação da articulação do cotovelo com realce de estruturas específicas em ambas as imagens (radiografia e peça anatômica).



## 5.4 Rádio e ulna

Vista lateral

# 5.4 Rádio e Ulna

Vista mediolateral

Figura 5.7

Figura 5.8



**Figura 5.7** Radiografia mediolateral esquerda de membro torácico de um cão, com destaque para os ossos rádio e ulna.  
**Figura 5.8** Peça anatômica indicando as mesmas estruturas.



## 5.5 Ossos do carpo, metacarpos e falanges

Vista dorsopalmar

# 5.5 Ossos do carpo, metacarpos e falanges

Vista dorsopalmar

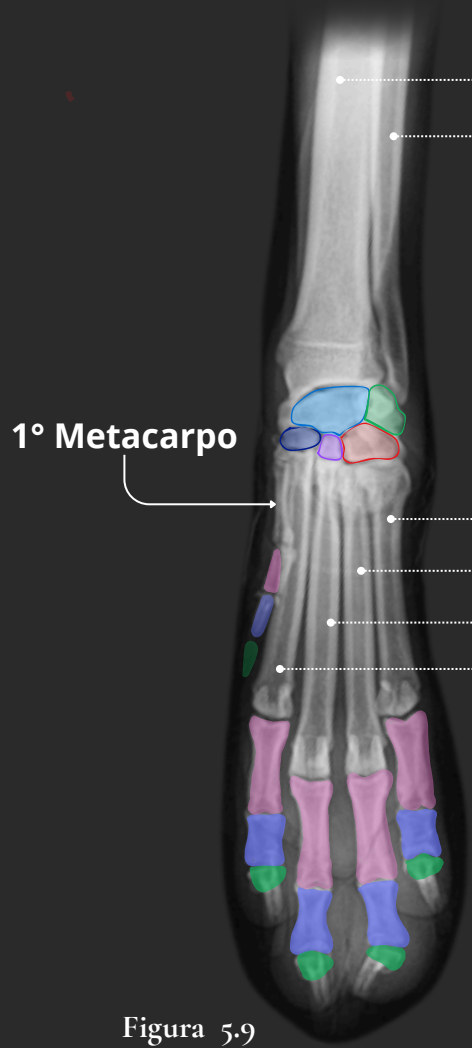


Figura 5.9

Rádio  
Ulna

5° Metacarpo  
4° Metacarpo  
3° Metacarpo  
2° Metacarpo

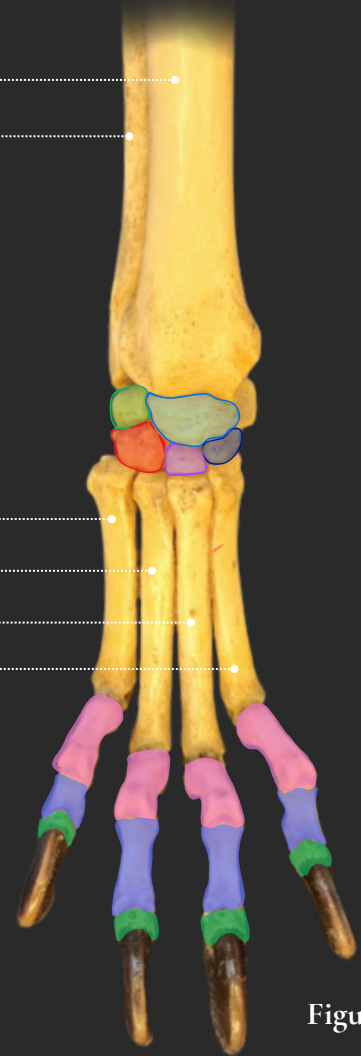


Figura 5.10

### Legenda

- Carpo acessório
- Intermédio radial do carpo
- Carpal IV
- Carpal III
- Carpal II
- Falange proximal
- Falange média
- Falange distal

**Figura 5.9** Radiografia dorsopalmar do membro torácico esquerdo de um cão, com coloração digital para identificação dos ossos do carpo, metacarpo e falanges.  
**Figura 5.10** Peça anatômica correspondente em vista dorsopalmar, apresentando as mesmas estruturas ósseas evidenciadas na radiografia.

# 6.1 Membro pélvico - geral

Vista lateral



# 6.1 Membro pélvico - geral

Vista lateral

Figura 6.1

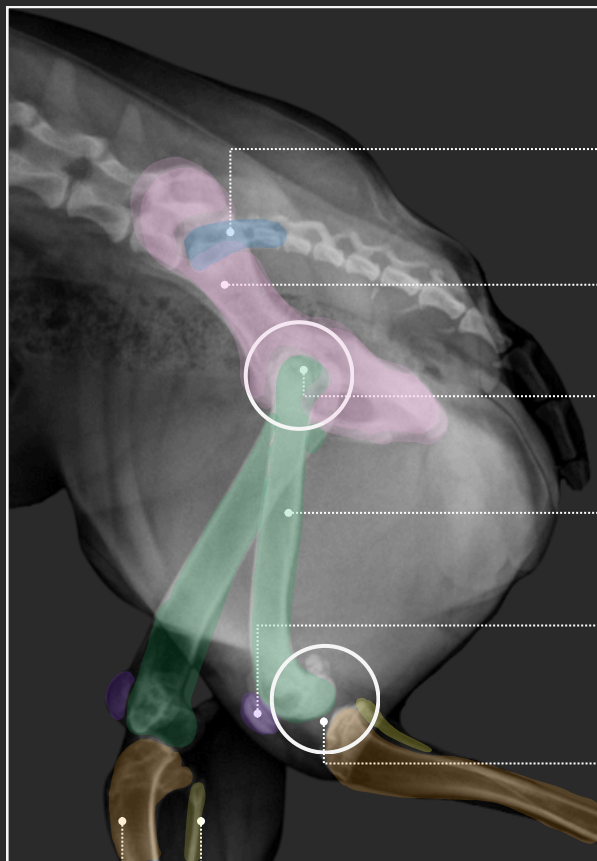
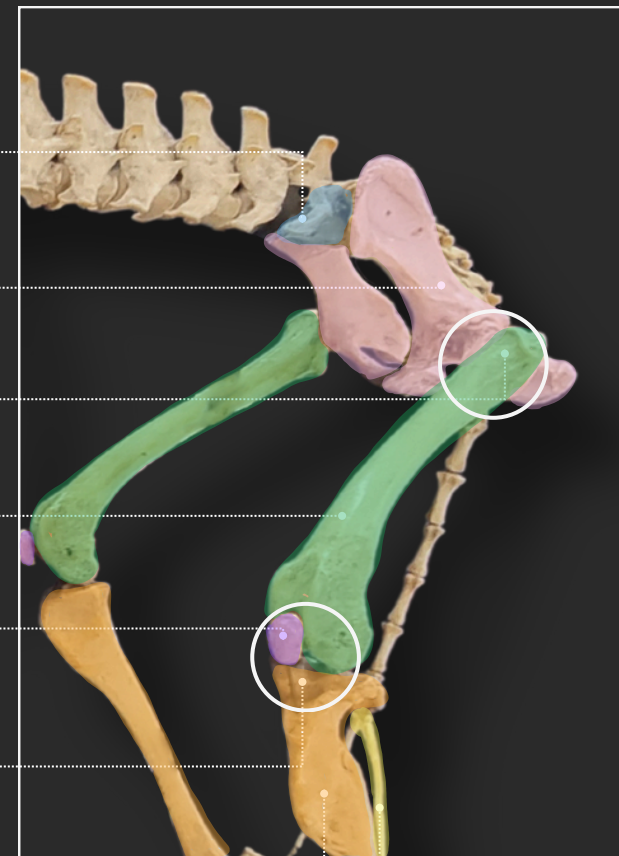


Figura 6.2



Sacro

Coxal

Articulação coxofemoral

Fêmur

Patela

Articulação  
femorotibiopatelar

Tíbia

Fíbula

**Figura 6.1** Radiografia laterolateral de membro pélvico de cão, evidenciando os principais ossos da região.

**Figura 6.2** Peça anatômica correspondente em vista lateral apresentando as mesmas estruturas ósseas evidenciadas na radiografia.

## 6.3 Osso coxal e fêmur

Vista ventral



# 6.3 Osso coxal e fêmur

Vista ventral

Figura 6.3

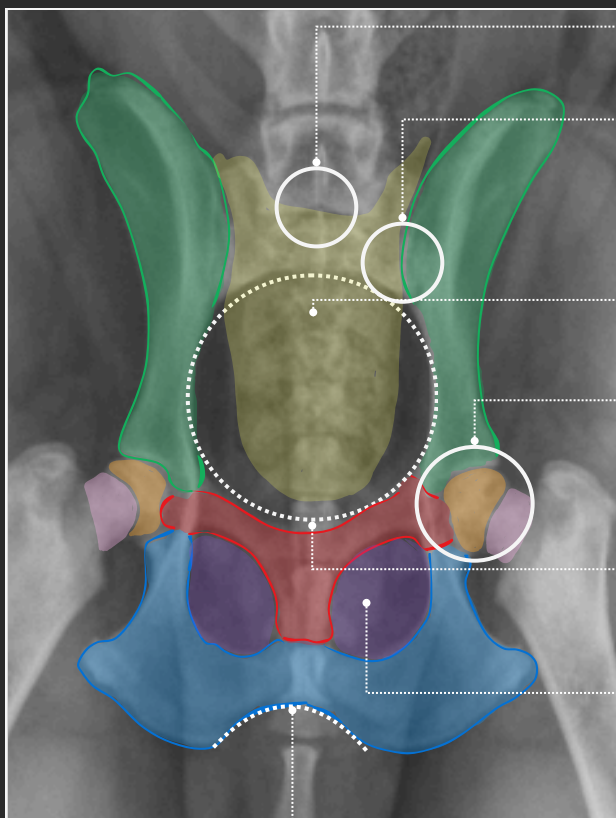
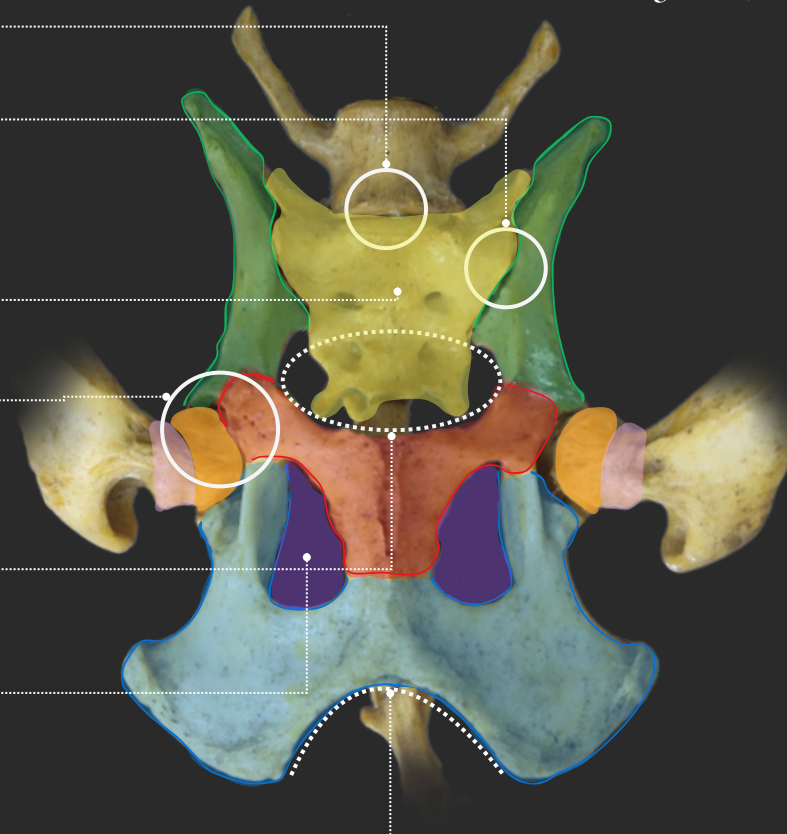


Figura 6.4



Articulação lombossacral

Articulação sacroilíaca

Osso sacro

Articulação coxofemoral

Entrada pélvica

Forame obturador

Arco isquiático

### Legenda

● Ísquio

● Púbis

● Íleo

● Colo do fêmur

● Cabeça do fêmur

**Figura 6.3** Radiografia ventrodorsal da pelve de um cão, com coloração digital para identificação das estruturas do coxal e fêmur, com indicações das articulações envolvidas e arcos.  
**Figura 6.4** Peça anatômica correspondente da pelve em vista ventral, apresentando as mesmas estruturas ósseas e suas características evidenciadas na radiografia.

# 6.5 Osso coxal e fêmur

Vista ventral

Figura 6.5

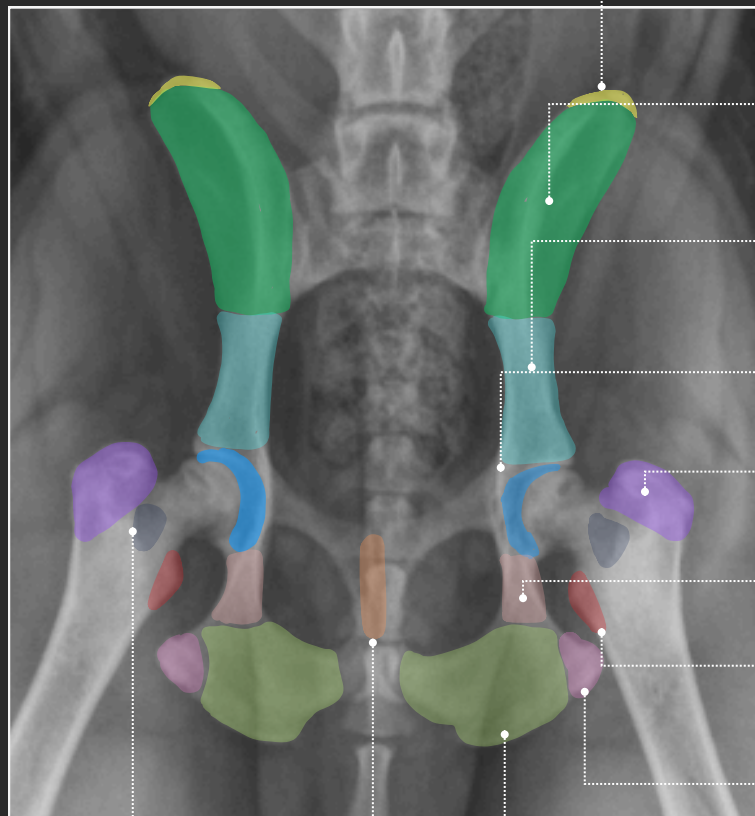


Figura 6.6



Crista do ílio

Asa do ílio

Corpo do ílio

Fossa do acetábulo

Trocânter maior

Corpo do ísquio

Trocânter menor

Tuberosidade isquiática

Tábua do ísquio

Sínfise púbica

Fossa trocantérica

**Figura 6.5** Radiografia ventrodorsal da pelve de um cão, com coloração digital para identificação das estruturas do coxal e fêmur.

**Figura 6.6** Peça anatômica correspondente da pelve em vista ventral, apresentando as mesmas estruturas ósseas e suas características evidenciadas na radiografia.

## 6.7 Osso coxal e fêmur

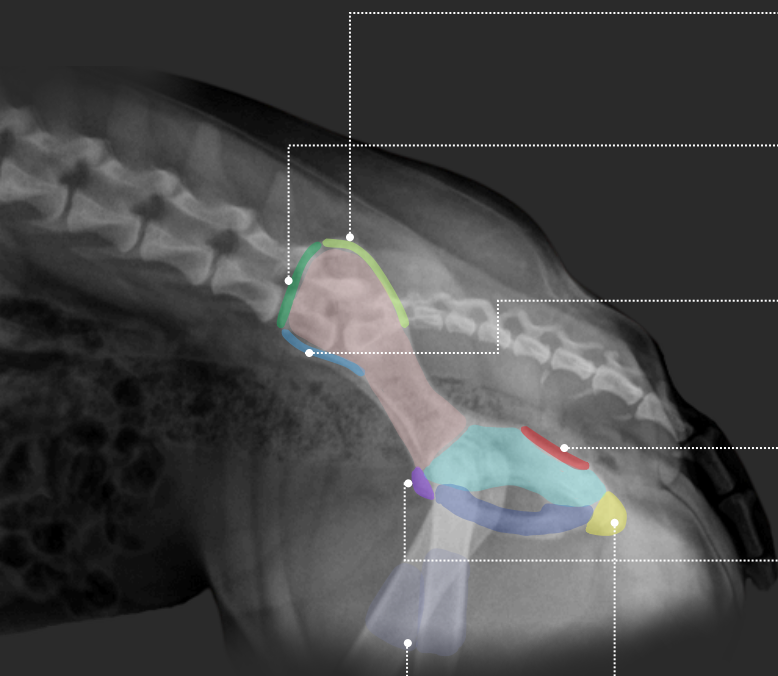
Vista lateral



## 6.7 Osso coxal e fêmur

Vista lateral

Figura 6.7



Tuberosidade sacral

Crista ilíaca

Tuberosidade coxal

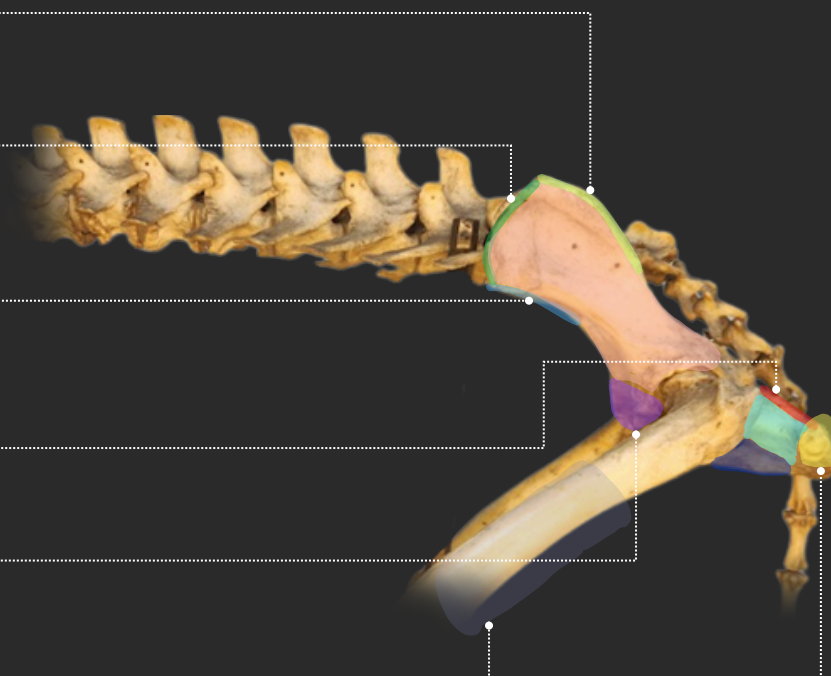
Espinha isquiática

Eminência íleopúbica

Tuberosidade isquiática

Corpo do fêmur

Figura 6.8



### Legenda

● Ísquio

● Púbis

● Íleo

**Figura 6.7** Radiografia laterolateral direita da pelve de cão, apresentando estruturas do osso coxal.

**Figura 6.8** Peça anatômica correspondente da pelve em vista lateral, apresentando as mesmas estruturas ósseas evidenciadas na radiografia.

# 6.8 Articulação do joelho

Vista mediolateral



# 6.8 Articulação do joelho

Vista mediolateral

Figura 6.9

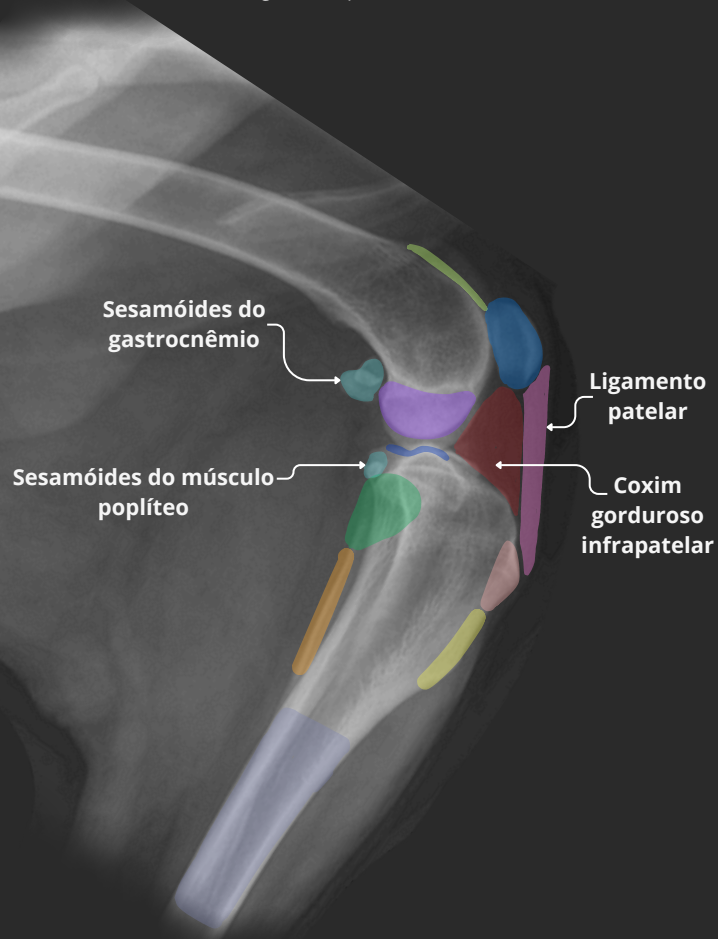


Figura 6.10



### Legenda

- Crista troclear
- Patela
- Côndilo medial do fêmur
- Corpo da tíbia
- Cabeça da fíbula
- Eminência intercondilar
- Tuberosidade tibial
- Crista tibial
- Fíbula

**Figura 6.9** Radiografia mediolateral da articulação femurotibiopatelar de um cão, com destaque para a identificação de estruturas do fêmur, patela, tíbia e fíbula  
**Figura 6.10** Peça anatômica correspondente da articulação femurotibiopatelar em vista mediolateral, apresentando as mesmas estruturas ósseas evidenciadas na radiografia.

# 6.9 Articulação do joelho

Vista craniocaudal



## 6.9 Articulação do joelho

Vista craniocaudal



Figura 6.11

### Legenda

- Corpo do Fêmur
- Fossa intercondilar
- Côndilo medial da tíbia
- Côndilo lateral da tíbia
- Côndilo medial do fêmur
- Côndilo lateral do fêmur
- Patela
- Fíbula
- Tuberosidade da tíbia
- Eminência intercondilar

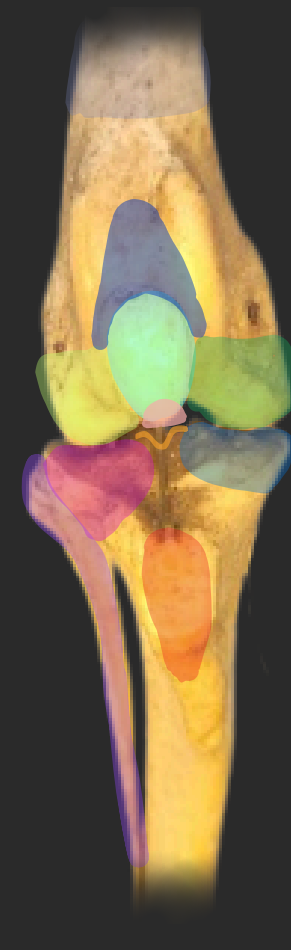
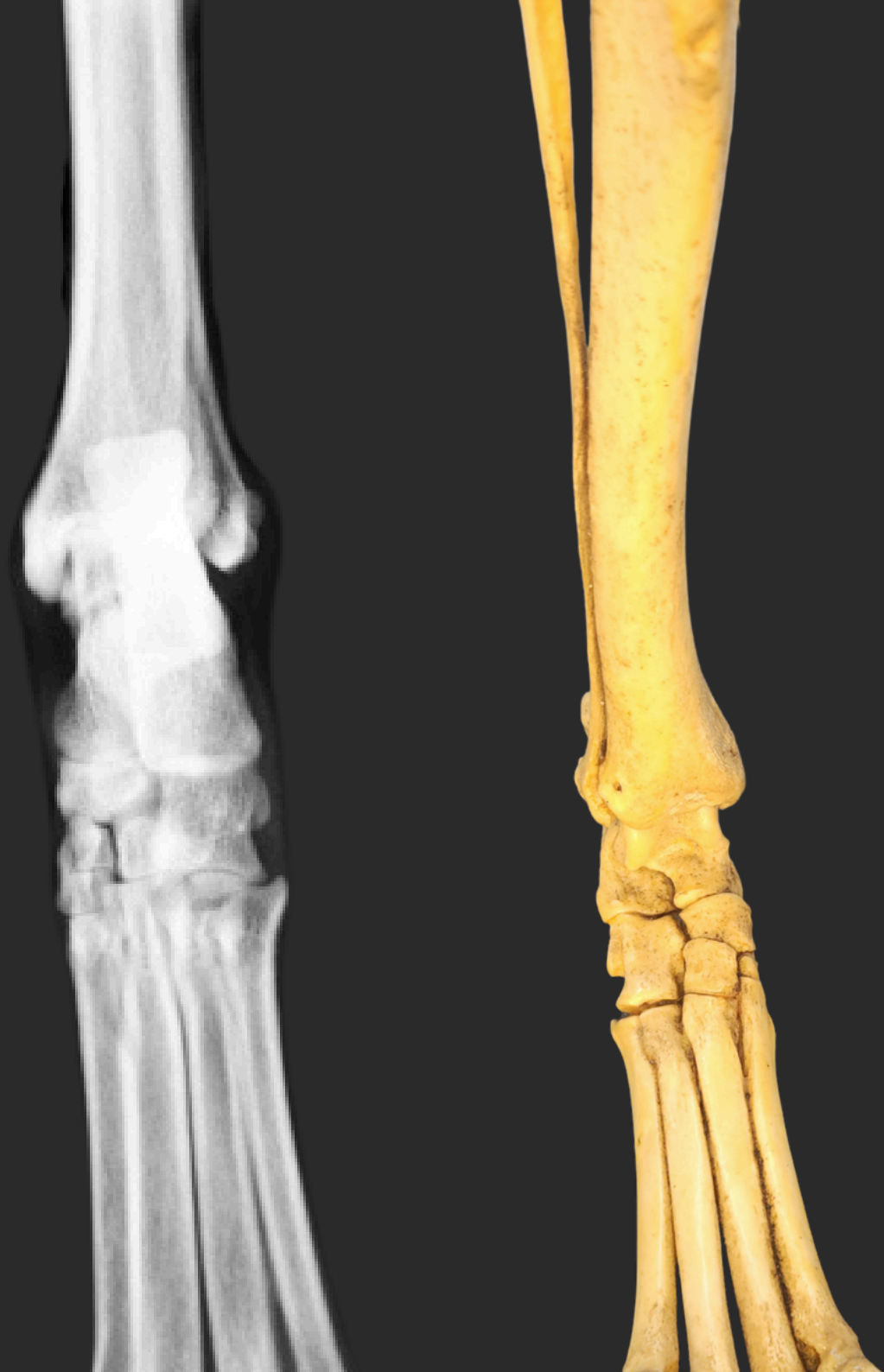


Figura 6.12

**Figura 6.11** Radiografia craniocaudal do fêmur distal e da articulação femurotibiopatelar (joelho) de um cão.

**Figura 6.12** Peça anatômica correspondente do fêmur distal e da articulação femurotibiopatelar em vista craniocaudal, apresentando as mesmas estruturas ósseas evidenciadas na radiografia.



# 6. 10 Tarso e metatarso

Vista dorsoplantar1

## 6. 10 Tarso e metatarso

Vista dorsoplantar



Figura 6.13

### Legenda

- Calcâneo
- Tálus
- Osso central do tarso
- 2º osso do tarso
- 3º osso do tarso
- 4º osso do tarso
- 2º metatarso
- 3º metatarso
- 4º metatarso
- 5º metatarso
- Maléolo medial da tíbia
- Maléolo lateral da fíbula



Figura 6.14

**Figura 6.13** Radiografia dorsoplantar do membro torácico esquerdo de um cão, evidenciando ossos do tarso e metatarso  
**Figura 6.14** Peça anatômica correspondente em vista dorsoplantar, apresentando as mesmas estruturas ósseas evidenciadas na radiografia.

# ATLAS ANATÔMICO RADIOGRÁFICO

ESQUELETO AXIAL e APENDICULAR de cães

## Realização



**UNiSA**  
Universidade Santo Amaro